

传输矩阵所描述的界面是光滑的理想介质界面。而实际界面粗糙程度的增加造成光线入射角度的改变以及散射现象，从而使反射率出现起伏。带宽变窄的可能原因是相邻界面处一定程度的 Al、Ga 组分扩散和混合生长。计算表明，两种材料的折射率差减小会导致带宽变窄。由于 MBE 生长过程中，在 GaAs 和 AlAs 界面处 Al 炉和 Ga 炉切换开闭，其束流变化均经过一渐变过程才达到稳定，因而在小区域内形成 AlGaAs 层，导致有效折射率发生变化。

第三，测试谱在波长超过 950nm 后反射率即出现明显的下降趋势，这是由于 GaAs 层厚度略小于设计值造成的。根据我们对改变层厚的模拟计算显示，不同折射率材料的厚度差 ( $\Delta d$ ) 增大，会使高反带出现向右侧倾斜的趋势。

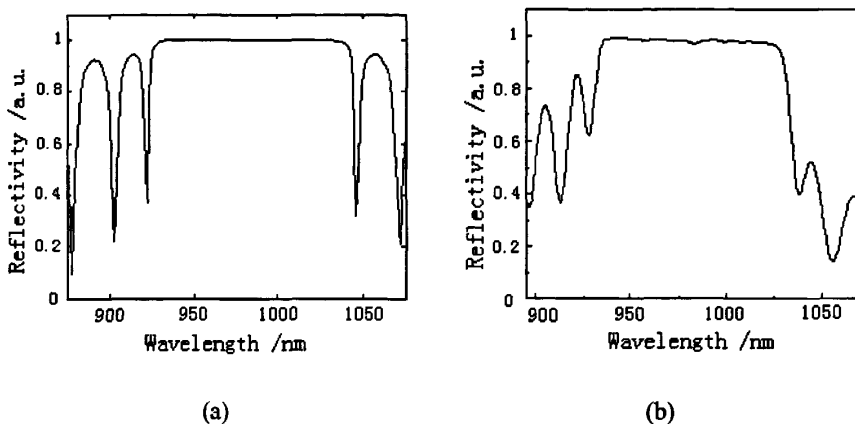


图 6.5 反射率谱 (30 对 DBR, 980nm) (a)计算结果 (b)实验测得结果

根据上述分析，计算了 980nm AlAs/GaAs DBR 的反射谱，并对生长工艺参数进行了优化。图 6.5 为 center 波长 980nm, 30 对 AlAs/GaAs DBR 样品的反射率谱计算结果 (图 6.5 a) 和实验测得结果 (图 6.5 b)。与 920nm 样品相比，DBR 的最大反射率达到 99.5%，虽然仍略小于计算值，但高反射率区域相对平坦，并未出现明显的起伏现象，这表明材料的界面状况有了较大改善。样品的中心波长和带宽非常接近预期值，结果达到了优化设计的要求。

#### 6.1.4 结论

利用传输矩阵的方法计算了不同对数 GaAs/AlAs 多层分布反馈布拉格反射镜的反射率曲线。设计生长了中心波长为 920nm 和 980nm、高反射率的半导体

多层膜 DBR 反射镜。反射率谱拟合与实验结果的比较显示，界面平整度不理想会引起高反射率区域谱线的起伏，Al、Ga 的组分混合会导致高反射率带宽改变，而 GaAs/AlAs 层周期厚度偏差则是导致中心波长漂移的主要原因。在上述研究的基础上，通过对生长工艺的优化，实现了多层厚度的精确控制，获得了中心波长为 980nm，最大反射率达 99.5% 的高质量 DBR 材料。

## 第二节 GaAs/AlGaAs 多量子阱材料的非线性吸收效应研究<sup>[14]</sup>

### 6.2.1 引言

近几十年来，因为在制作光学双稳开关、半导体激光器、光信息处理和别的非线性光学器件方面具有潜在的优势，半导体多量子阱非线性光学效应引起了人们相当大的研究兴趣<sup>[15~18]</sup>。在设计这些器件时，非线性参数是非常重要的。材料的非线性性质可以通过许多方法来测量，比如非线性干涉测量计<sup>[19]</sup>、简并四波混频<sup>[20]</sup>、近简并三波混频<sup>[21]</sup>、椭偏仪<sup>[22]</sup>和光束扭曲测量<sup>[23~24]</sup>等。与这些实验方法相比，反射 Z 扫描技术被认为是最简单和有效的单光束测量方法之一，可以用来测量小厚度样品（比如衬底上的薄膜）的非线性吸收系数。采用这种方法，被非线性材料所反射的入射光束的空间界面修正通过一个放置在远场区的小孔所监控，这被称做“闭孔”测量，用于测量轴上的反射光强。这样，反射光束的相位扭曲被转换为可以被光电探测器探测的强度变化。通过分析实验数据，可以得到非线性吸收系数。如果小孔被移走，则为“开孔”测量，可以探测到所有的反射光强，通过分析实验数据，可以得到非线性折射率。

在本节中，通过采用反射 Z 扫描方法，测量了 GaAs/AlGaAs 多量子阱的室温三阶非线性系数。并且一个基于速率方程和带填充效应的模型被展示来计算非线性吸收系数。

### 6.2.2 反射 Z 扫描实验及结果拟合

GaAs/AlGaAs 多量子阱样品采用 MBE 设备在半绝缘的 GaAs 衬底上生长。每个样品的结构为：首先是一个 GaAs 缓冲层，接着是 30 周期的由 5 nm GaAs 和 7 nm AlGaAs 组成的多量子阱层，最后是一个 100 Å GaAs 帽层来阻止氧化。

在样品 TD001, TD002 和 TD003 中, 垒层的 Al 组分分别是 0.22, 0.19 和 0.34。所有各层的生长温度都是 610°C。

反射 Z 扫描的实验布局如图 6.6 所示。激发光源为 532nm 的 YAG 激光器, 脉冲持续时间 30ps, 重复频率为 10Hz, 束腰半径 18μm。激光脉冲的能量约几百纳焦耳。

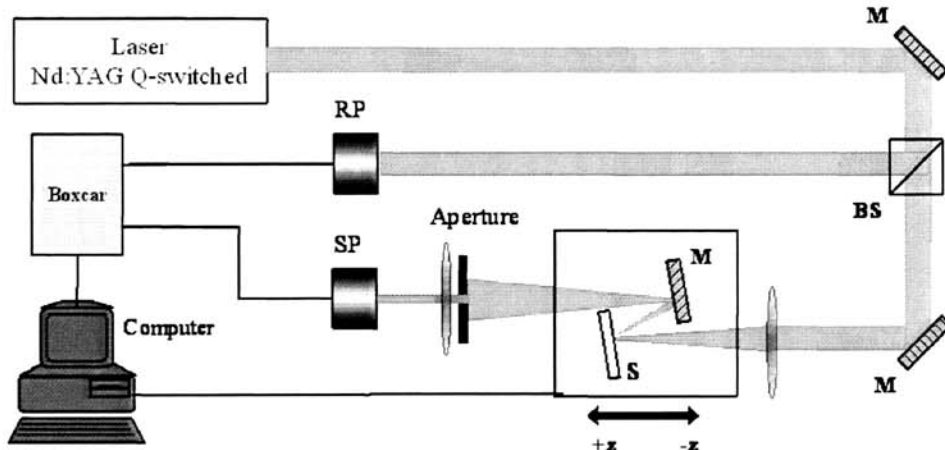
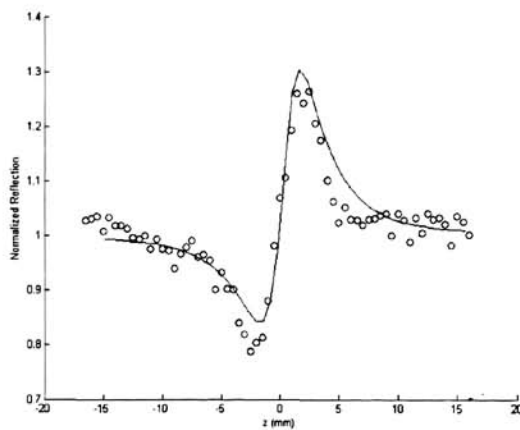
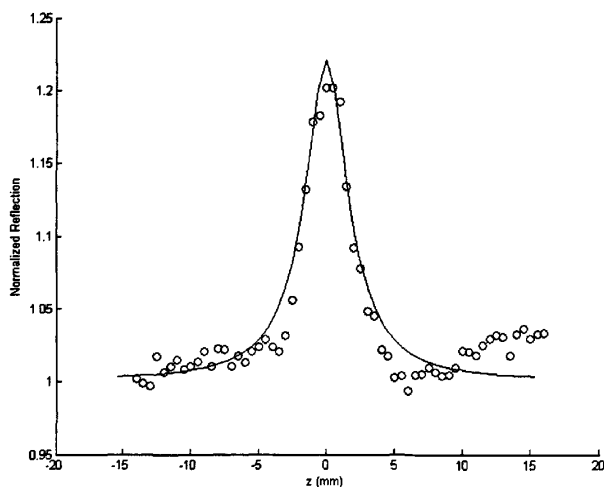


图 6.6 反射 Z 扫描实验布局

在上述实验条件下, 我们测量了对应于开孔和闭孔条件下归一化反射光强与样品位置的关系, 如图 6.7 中分立点所示。



(a) 闭孔测量条件下的归一化轴上光强



(b) 开孔测量条件下的归一化总反射光强

图 6.7 TD003 样品的 RZ-scan 测量结果与拟合曲线

以下对实验数据进行数据拟合<sup>[25~27]</sup>。考虑一束沿 Z 轴传播的高斯入射光束，它的束腰处在  $z=0$ 。束腰和样品表面的距离是  $z$ ，小孔放在距束腰为  $d$  的地方。反射光束的菲涅尔系数包含了由于非线性效应导致的折射率变化和消光系数变化以及可能存在的表面热扩散导致的反射波的相位变化。因此，有效反射系数为

$$R(z, r) = \left[ \frac{\hat{n}(z, r) - 1}{\hat{n}(z, r) + 1} \right] \exp \left[ i 2 k U |E(z, r)|^2 \right] \quad (6.9)$$

这里

$$\hat{n}(z, r) = n_0 + n_2 |E(z, r)|^2 + i [\kappa_0 + \kappa_2 |E(z, r)|^2] \quad (6.10)$$

是复折射率， $n_0$  和  $\kappa_0$  是线性折射率和消光系数， $n_2$  和  $\kappa_2$  是非线性折射率和非线性消光系数， $E(z, r)$  是界面处的发射波， $U |E(z, r)|^2 = H$  是表面扩张幅度， $k$  是波数。因此，方程(4.19)显示了反射波是由表面非线性吸收和表面扩张引起的。另一方面，表面非线性折射率则对反射波起振幅调制的作用。考虑光致反射率改变，样品界面空气处的镜面反射波场为：

$$\begin{aligned}
 E_R(r, z, t) = & E_0(t) \frac{w_0}{w(z)} \exp\left[-i\Phi(z) - \frac{ik}{2R(z)}\right] \exp(ikz) (R_0 \exp[-r^2/w^2(z)] + \\
 & R_1(n_2 + i\kappa_2) |E_0(t)|^2 [1 + (z/z_0)^2]^{-1} \times \exp[-3r^2/w^2(z)] + \\
 & R_0 \sum_{m=1}^{\infty} \frac{\{2ikU|E_0(t)|^2 [1 + (z/z_0)^2]^{-1}\}^m}{m!} \exp[-(2m+1)r^2/w^2(z)])
 \end{aligned} \quad (6.11)$$

式中  $E_0(t)$  是  $r=0$  处的电场振幅,  $w_0$  是束腰半径,  $w(z) = w_0[1 + (z/z_0)^2]^{1/2}$  是光斑半径,  $z_0 = kw_0^2/2$  是光束衍射长度,  $R(z) = z(1 + z_0^2/z^2)$  是在  $z$  处的弯曲波前半径,  $R_0 = (n_0 - 1 + i\kappa_0)/(n_0 + 1 + i\kappa_0)$  是线性反射系数,  $R_1 = 2(n_0 + 1 - 2i\kappa_0)/(n_0 + 1)^3$ ,  $\Phi(z) = \tan^{-1}(z/z_0)$ 。方程 (4.21) 中第一项描述光的线性反射, 第二项包括了非线性极化率的实部和虚部, 最后一项是表面扩张的贡献。

为了计算孔径平面处光斑的远场模式, 我们采用“高斯分解方法”。利用高斯光束的性质, 孔径平面处轴上 ( $r=0$ ) 光强分布是表面位置  $z$  的函数, 它的形式为:

$$\begin{aligned}
 I_R(z) = & I_0 |(R_0 G_0^{-1}(z) + R_1(n_2 + i\kappa_2) I_0 [1 + (z/z_0)^2]^{-1} G_1^{-1}(z) + \\
 & R_0 \sum_{m=1}^{\infty} \frac{\{2ikU I_0 [1 + (z/z_0)^2]^{-1}\}^m}{m!}) G_m^{-1}(z) \times (1 - iz/z_0)^{-1}|^2
 \end{aligned} \quad (6.12)$$

其中  $g(z) = 1 + (z+d)z/(z_0^2 + z^2)$ ,  $G_m(z) = \{g(z) - i \times (2m+1)(z+d)/[kw^2(z)/2]\}$ ,  $I_0 \propto |E_0(t)|^2$ 。

通过上式, 可得到拟合曲线如图 6.7 中实线所示, 并可计算出相应不同样品的非线性消光系数  $\kappa_2$  和非线性折射率  $n_2$ 。根据非线性吸收系数  $\alpha_2$  和非线性消光系数  $\kappa_2$  之间的关系,

$$\alpha_2 = \frac{4\pi}{\lambda} \kappa_2 \quad (6.13)$$

还可计算得到各样品的非线性吸收系数, 具体计算结果如表 6.1 所示。非线性吸收系数前的负号表示该吸收属于饱和吸收。从表中可以看出, 虽然有 Al 组分和  $z=0$  处入射光强 (即中心光强) 两个影响因素, 但是非线性吸收系数只是主要取决于后者; 换句话说, 中心光强越弱, 则非线性吸收系数越大。这个现象可以被后面的模型所解释。

表 6.1  $z=0$  处的入射光强和非线性系数的拟合数据

sample	Al fraction	$I_0$ (W/cm <sup>2</sup> )	$\alpha_2$ (cm/W)	$n_2$ (cm <sup>2</sup> /W)
TD001	0.22	1.76E+9	-4.30 E-4	2.20E-11
TD002	0.19	1.48E+9	-6.50E-4	6.50E-11
TD003	0.34	1.39E+9	-1.80 E-3	5.55E-11

### 6.2.3. 讨论

半导体多量子阱材料的非线性吸收，与载流子的密度和载流子在能带中的填充状态都有密切关系。当入射光场的光子能量  $\hbar\omega$  等于或大于材料能隙  $E_g$  时，在半导体中会产生电子从价带到导带的激发，从而得到大量的电子和空穴。在热平衡情况下，粒子态的分布由费米—狄拉克函数来描述。这个函数包括两个参数：温度 T 和费米能级  $E_F$ ，它们对所有的能级都适用。在光泵浦的情况下，粒子态的可能分布会被快速的谷间散射过程（通常是亚皮秒量级）所热弛豫。粒子态的分布仍然保持费米—狄拉克函数的形式，但是费米能级  $E_F$  在不同的带中是不同的，我们采用准费米能级  $E_{Fc}$  和  $E_{Fv}$  来分别描述导带和价带的情况<sup>[28~29]</sup>。

在严格的动量守恒假设下，量子阱的吸收系数可以写为

$$\alpha = \frac{\pi e^2}{\epsilon_0 N_r c \omega m_0^2} \int dE \sum_n \sum_{j=l,h} \rho_{nj}(E) M_j^2(E) \cdot [f_{cn}(E) - f_{jn}(E)] L(E) \quad (6.14)$$

这里  $\rho_{nj}(E)$  是折合态密度函数， $h$  是普朗克常数， $e$  是电子电荷， $c$  是光速， $\epsilon_0$  是自由空间介电常数， $m_0$  是电子质量， $N_r$  是介质有效折射率， $M_j^2(E)$  是偶极矩阵元的平方， $f_{cn}(E)$  和  $f_{jn}(E)$  (脚标  $c$  代表电子， $j=h$  指重空穴， $j=l$  指轻空穴) 分别是与第  $n$  个量子化能级对应的导带和价带的费米电子占据几率。由于导带量子能级和价带量子能级的数目不等，所以 (6.14) 式的第一项求和的上限由这两个数中较小的一个给出。

$L(E)$  唯象地表示了带内弛豫过程的洛伦兹函数，

$$L(E) = (1/\pi)[\Lambda(E_j)/2]/[(E_i - E)^2 + (\Lambda(E_j)/2)^2] \quad (6.15)$$

这里  $\Lambda(E_j)$  是能级  $E_j$  的碰撞展宽的宽度。使用折合有效质量  $m_{rj}^*$  和严格的  $k$  选择定则，吸收表达式的各个量可以被写为：

$$m_{rj}^* = (m_c^* m_{jh}^*) / (m_c^* + m_{jh}^*) \quad (6.16)$$

$$\rho_{rj}^*(E) = [(4\pi m_{rj}^*) / (\hbar^2 L_z)] H(E - E_{gw} - E_{cn} - E_{jn}) \quad (6.17)$$

$$E_j = E_{cn} + (m_{rj}^* / m_c^*)(E - E_{gw} - E_{cn} - E_{jn}) \quad (6.18)$$

$$f_{cn}(E) = \{1 + \exp[(E_{cn} + \{m_{rj}^* / m_c^*\} \cdot \{E - E_{gw} - E_{cn} - E_{jn}\} - E_{FC}) / (kT)]\}^{-1} \quad (6.19)$$

$$f_{jn}(E) = \{1 + \exp[(-E_{jn} - E_{gw} - \{m_{rj}^* / m_{jh}^*\} \cdot \{E - E_{gw} - E_{cn} - E_{jn}\} - E_{FV}) / (kT)]\}^{-1} \quad (6.20)$$

式中  $H(E - E_{gw} - E_{cn} - E_{jn})$  是一元 Heaviside 函数， $E_{gw}$  是量子阱层的体材料带隙， $k$  是波尔兹曼常数， $T$  为温度。

偶极矩阵元的平方的表达式为

$$M_h^2 = (3/4)M_0^2(1 + E_{cn} / E_j) \quad (6.21)$$

$$M_l^2 = 2M_0^2 - M_h^2 \quad (6.22)$$

这里  $M_0^2$  是体材料的偶极矩阵元  $M_0^2 = (4/3)m_0 E_{gw}$ 。半导体量子阱中的电子和空穴的密度为：

$$N_e = \frac{4\pi m_c^*}{h^2} \sum_n \int_{E_{cn}}^{\infty} dE \frac{H(E - E_{gw} - E_{cn} - E_{jn})}{1 + \exp[(E - E_{FC}) / (kT)]} \quad (6.23)$$

$$N_v = \frac{4\pi m_{jh}^*}{h^2} \sum_n \int_{E_{cn}}^{\infty} dE \frac{H(E - E_{gw} - E_{cn} - E_{jn})}{1 + \exp[(E - E_{FV}) / (kT)]} \quad (6.24)$$

令入射光场的光强为  $I$ ，则可得到如下的激发电子密度的速率方程为

$$\frac{dN_e}{dt} = \frac{\alpha I}{\hbar\omega} - \frac{N_e - N_{e0}}{\tau_R} \quad (6.25)$$

在稳态情况下则有激发电子密度为

$$N_e = N_{e0} + \tau_R \frac{\alpha I}{\hbar \omega} \quad (6.26)$$

其中  $\tau_R$  本为载流子复合寿命（纳秒量级），由于实验所用激光为皮秒脉冲，脉冲持续时间短于载流子复合寿命，所以我们这里采用皮秒脉冲的持续时间。

考虑到材料中电子和空穴的个数相等，则有

$$N_e = N_v \quad (6.27)$$

材料的吸收由线性部分  $\alpha$  和非线性部分  $\Delta\alpha$  组成，即

$$\alpha = \alpha_0 + \Delta\alpha \quad (6.28)$$

由于入射波长远远小于材料的带边吸收波长，我们采用 GaAs 体材料的线性吸收系数作为量子阱的线性吸收系数，在 532nm 处，这个值是  $7 \times 10^4 \text{ cm}^{-1}$ <sup>[30]</sup>。

在上述理论中，我们忽略了 AlGaAs 层的吸收。这是因为，量子阱中的能级位置远低于垒层的导带底，而载流子倾向于占据较低的能级，所以量子阱中由载流子分布导致的带填充效应要比垒层中更明显。

我们采用自洽方法来解上述的方程组，可以获得材料中的电子和空穴的准费米能级，以及获得材料中的非线性吸收系数。在我们的模型中，吸收变化对  $z=0$  处光强的比值可以反映非线性吸收系数，即

$$\alpha_2 \propto \frac{\Delta\alpha}{I_0} \quad (6.29)$$

当  $z=0$  处光强变化时， $\Delta\alpha$  和  $I_0$  的比值和电子空穴准费米能级之差的关系如图 6.8 所示。

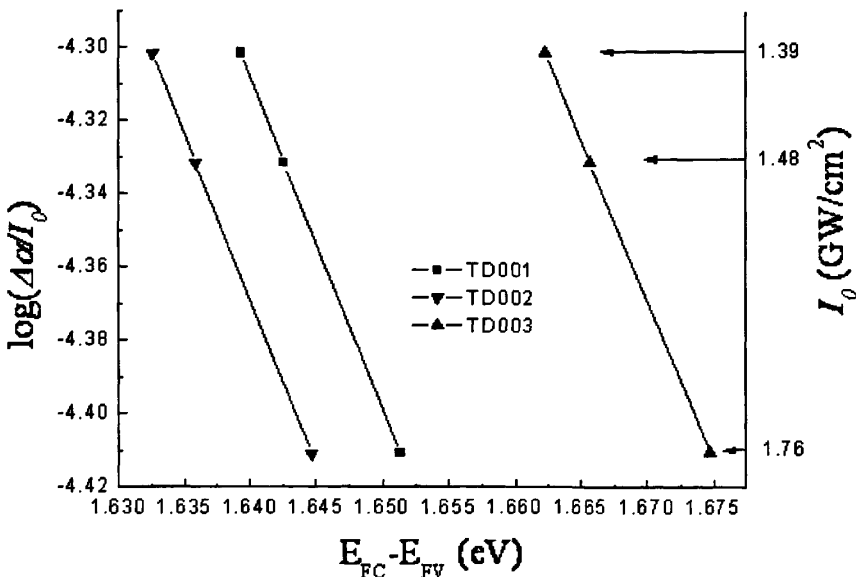


图 6.8 三个样品的  $\Delta\alpha$  和  $I_0$  的比值和电子空穴准费米能级之差的关系

从图中可以看到，对同一个样品，非线性吸收系数  $\Delta\alpha / I_0$  的对数与准费米能级之差有一个线性关系。这是由于，准费米能级之差正比于导带和价带的态密度，而非线性吸收系数也与导带和价带的态密度成正比。从图中还可以发现，当入射光强相同时，三个样品的非线性吸收系数几乎相同，即使它们有不同的 Al 组分和不同的准费米能级之差  $E_{FC} - E_{FV}$ ，后者是由量子阱中的能级位置决定的。这说明在目前的光强范围，Al 组分对非线性吸收系数的影响是不重要的。最后也是最重要的是，对同一个样品来说，非线性吸收系数随光强的增大而减小。

我们的实验数据可以在模型模拟的结果上很好地被解释。因为在目前的光强范围内 Al 组分对非线性吸收系数的影响是不重要的，并且对同一个样品来说，非线性吸收系数随着光强增大而减小，具有不同 Al 组分的三个样品才显示出它们的非线性吸收系数主要取决于光强。

#### 6.2.4. 结论

通过采用反射 Z 扫描技术，研究了 GaAs/AlGaAs 多量子阱的室温非线性吸收效应。量子阱中的非线性效应可以被带填充效应所解释。一个可以计算量子阱非线性吸收系数的模型被提出，并很好地解释了实验现象。

### 第三节 本章结论

作为 VECSEL 的一个重要组成部分，半导体分布布拉格反射镜的制备和性质对于激光器的性能有重要的影响，我们采用传输矩阵模型，计算了 GaAs/AlAs DBR 的反射率，与实验结果能很好吻合；并在此基础上进一步指导实验，优化生长工艺，成功制备出反射率达 99% 以上、中心波长 980nm 的 GaAs/AlAs DBR。

成功地将反射 Z 扫描技术应用到 GaAs/Al<sub>x</sub>Ga<sub>1-x</sub>As 多周期结构的非线性吸收研究中，并提出一个可以半定量计算非线性吸收系数的模型。实验和理论结果表明，在一定范围内，z=0 时的入射光强是决定非线性吸收系数大小的主要因素。此外，该模型也展示了不同 Al 组分 x 对此多周期结构非线性吸收系数的影响，这在之前的研究中还未见报道过。

## 第七章 总结与展望

### 第一节 总结

InGaAs/GaAs 应变量子阱在现代光电材料和器件的应用中具有非常重要的地位。本论文“GaAs 基低维应变异质结和多周期结构的 MBE 制备及特性研究”从多个方面对 InGaAs/GaAs 应变量子阱的生长和性质进行了讨论和研究，主要内容包括：MBE 系统原理与外延材料的表征方法、InGaAs/GaAs 多量子阱的生长与光学性质研究、快速热退火对 InGaAs/GaAs 应变量子阱光学性质的影响、应变补偿技术在 InGaAs/GaAs 应变量子阱中的应用以及多周期结构的性质研究等共五个主要部分。各部分的主要研究内容及研究结果如下：

1. 阐述了分子束外延设备系统原理、对真空系统的和 MBE 原位检测手段进行了介绍。讨论了外延层生长动力学和热力学原理，研究了源炉温度和束流的精确控制。介绍了外延材料的几种常用表征手段，对透射电子显微镜、X 射线双晶衍射、光致发光谱和拉曼光谱的原理及其特点进行了分析。
2. 制备出了具有优良室温发光特性的 InGaAs/GaAs 应变量子阱，探讨了应变、临界厚度以及温度对应变量子阱带隙的影响，研究了不同生长条件如生长温度、生长速度、界面生长停顿等对应变量子阱光学性质的影响。首次采用亚单层交替生长方式来生长 InGaAs 量子阱层，增进了量子阱中 In 组分的均匀分布，提高了 PL 谱的峰值波长发光强度；并对亚单层生长方式对 InGaAs/GaAs 应变量子阱光学性质的提升进行了研究和讨论。
3. 从实验和理论上研究了快速热退火对 InGaAs/GaAs 应变量子阱光学性质的影响，在退火时间 30 秒条件下，退火温度为 650°C、700°C 和 750°C 的样品的 PL 峰值波长都发生了红移，只在 800°C 退火时 PL 峰值波长蓝移；在退火温度 750°C 条件下，除了退火时间 60 秒的样品相对于退火时间 45 秒的样品的发光峰有一个蓝移之外，发光峰波长整体向长波长方向移动。通过比较可以发现，发光峰值波长红移量越多，发光峰强度越小。这可以由应变驰豫造成的位错对 PL 发光峰强度的影响来解释。提出了新的拟合扩散激活能的方法，得到了组分为 0.24 的样品的扩散激活能为 1.2eV，该结果与文献的报道能够很好的吻合。与传统的传输矩阵方法处理相比，减少了数据运算量。在此基础上，我

们研究和讨论了扩散和应变弛豫在快速热退火过程中各自所起的作用：在退火时间 30 秒、不同退火温度条件下，应变弛豫提供了 PL 峰值能量移动的初始值，随后 PL 峰值能量移动随温度的变化主要受扩散影响；在退火 750°C、不同退火时间条件下，PL 峰值能量移动明显偏离扩散理论的结果，主要受应变弛豫的影响；而当样品先后经历 750°C、30 秒退火和 800°C、30 秒退火之后，PL 峰值能量的移动可以由扩散造成的影响来解释。

4. 进行了应变补偿技术在 InGaAs/GaAs 应变量子阱中的应用研究，得到了具有优良室温发光特性的多层 InGaAs/GaAs 应变量子阱；讨论了应变补偿的设计；通过对室温 PL 谱的计算，确认了未采用应变补偿的样品中，应变弛豫的发生及弛豫程度；通过结合 DCXRD 和 PL 谱的结果，详细讨论了应变弛豫样品中双峰的几种可能来源；在此基础上，讨论了应变补偿对量子阱光学性质的改进，以及不同补偿方式对量子阱光学性质的影响。进行了应变补偿对高组分 InGaAs/GaAs 应变量子阱发光波长的拓展实验，得到了发光波长大于  $1.1 \mu\text{m}$  的多层应变量子阱，In 组分为 40%，室温发光特性良好。

5. 成功地将反射 Z 扫描技术应用到 GaAs/Al<sub>x</sub>Ga<sub>1-x</sub>As 多周期结构的非线性吸收研究中，并提出一个可以半定量计算非线性吸收系数的模型。实验和理论结果同时表明，在一定范围内，z=0 时的入射光强是决定非线性吸收系数大小的主要因素。此外，该模型也展示了不同 Al 组分 x 对此多周期结构非线性吸收系数的影响，这在之前的研究中还未见报道过。采用传输矩阵模型，计算了 GaAs/AlAs DBR 的反射率，与实验结果能很好吻合；并在此基础上进一步指导实验，优化生长工艺，成功制备出反射率达 99% 以上、中心波长 980nm 的 GaAs/AlAs DBR。

## 第二节 展望

以 GaAs 基为代表的低维应变半导体异质结具有丰富的物理内涵与广泛的应用前景，在未来一段时间内该领域的研究依然是半导体材料与器件的前沿。分子束外延技术是一门系统而工艺复杂的技术，如何利用 MBE 方法，实现高性能材料的精确可控生长，是获得高质量光电器件的核心。本论文通过对 MBE 制备材料的研究，为今后的工作打下了良好的基础。同时，也还有大量的工作值得进一步的分析和研究：

1. 应变补偿技术已经证明其对大应变、高组分 InGaAs/GaAs 应变量子阱生长和应用的重要性。同时，使用应变补偿技术可以使作为有源区的 InGaAs/GaAs 应变量子阱的层数增加很多，可以极大地提升半导体激光器的输出功率。如何更加深入地认识应变补偿的本质，如何更加有效地把应变补偿结合到器件的实际应用中，还需要相当多的研究。
2. 本论文所讨论的 InGaAs/GaAs 应变量子阱主要针对在半导体激光器，尤其是在垂直外腔表面发射激光器中的应用。作为一个完整的器件，其对作为有源区的量子阱势必会有更多的要求，这还需要进一步的认识和研究。

## 参考文献

### 第一章：

- [1] Esaki L and Tsu R. Superlattice and negative differential conductivity in semiconductors. IBM J.Res.Develop, 1970, 14: 61-65
- [2] Cho A Y, Panish B A and Hayashi I. Proc. 3rd. Inc. Symp. On GaAs and Related Compounds. Aachen, 1970
- [3] T H Gfroerer, L P Priestley, M F Fairley, et al. Temperature dependence of nonradiative recombination in low-band gap  $In_xGa_{1-x}As/InAs_yP_{1-y}$  double heterostructures grown on InP substrates. J. Appl. Phys, 2003, 94(3): 1738-1743.
- [4] T H Gfroerer, C E Gillespie, J P Campbell, et al. Deep donor-acceptor pair recombination in InGaAs-based heterostructures grown on InP substrates. J. Appl. Phys, 2005, 98(9):093708-1-6.
- [5] I Suemune, L A Coldren, M Yamanishi, et al. Extremely wide modulation bandwidth in a low threshold current strained quantum well laser. Appl. Phys. Lett, 1988, 53(15):1378-1380.
- [6] H Shimizu, T Fukushima, K Nishikata, et al. 1.5  $\mu m$  wavelength compressively strained GaInAs/AlGaInAs multiquantum-well lasers grown by molecular-beam epitaxy with high differential gain and low threshold current density. Appl. Phys. Lett, 1995, 67(4):449-451.
- [7] W. D .Laidig, P. J. Caldwell, Y. F. Lin, et al. Strained-layer quantum-well injection laser. Appl. Phys. Lett, 1984,44(7):653~655
- [8] W. D. Laidig, Y. F. Lin, and P. J. Caldwell. Properties of  $In_xGa_{1-x}As-GaAs$  strained-layer quantum-well-heterostructure injection lasers. J. Appl. Phys, 1985,57(1):33
- [9] E. Yablonovitc and E. O. Kane. Reduction of lasing threshold current density by the lowering valence band effective mass. J. Lightwave Technol., 1986, 4(50): 4
- [10] R. M. Kolbas, N.GAnderson, W. D. laidig, Y Sin, YC. Lo, K. Y. Hsieh, and Y. J.Yang "Strained-layer InGaAs-GaAs-AIGaAs photopumped and current injection lasers" IEEE. J. Quantum. Electron., 24, 1605 (1988)
- [11] H. K. Choi, C.A.Wang. InGaAs/AlGaAs strained single quantum well diode lasers with extremely low threshold current density and high efficiency. Appl. Phys. Lett, 1990,57(4):321~323
- [12] R. L. Williams, M. Dion, F. Chatenoud, et al. Extremely low threshold current strained InGaAs/AlGaAs lasers by molecular beam epitaxy. Appl. Phys. Lett, 1991,58(17):1816~1818
- [13] N.C. Frateschi, J.S. Osinski, C. A. Beyler,et al. Low-threshold single-quantum-well InGaAs/GaAs lasers grown by metal-organic chemical vapor deposition on structure

- substrates. IEEE. Photon. Technol. Lett, 1992, 4(3), 209~212
- [14] M. Okayasu, M. Fukuda, T. Takeshi, et al. Stable operation (over 5000 h) of high-power 0.98- $\mu\text{m}$  InGaAs-GaAs strained quantum well ridge waveguide lasers for pumping Er<sup>3+</sup>-doped fiber amplifiers. IEEE. Photon. Tecbnol. Lett, 1990,2(10): 689~691
- [15] A. Moser, A. Oosenbrug, E. E. Latta, et al. High-power operation of strained InGaAs/AlGaAs single quantum well lasers. Appl. Phys. Lett, 1991,59:2642~2644
- [16] E. Desurvire. Spectral noise figure of Er<sup>3+</sup>-doped fiber amplifiers. IEEE. Photon, Technol. Lett, 1990,2(3):208~210
- [17] Naresh Chand, E. E. Becker, J. P. van der Ziel, et al. Excellent uniformity and very low (<50 A/cm<sup>2</sup>) threshold current density strained InGaAs quantum well diode lasers on GaAs substrate. Appl.Phys.Lett, 1991,58(16):1704~1707
- [18] R. M.Kolbas, N.G.Anderson, W.D.laidig, et al. Strained-layer InGaAs-GaAs-AlGaAs photopumped and current injection lasers IEEE. J. Quantum. Electron. 1988, QE-24(8):1605-1613
- [19] Schlenker D, Miyamoto T, Chen Z, et al. Growth of highly strained GaInAs/GaAs quantum wells for 1.2  $\mu\text{m}$  wavelength lasers. J. Cryst. Growth, 2000,209:27-36
- [20] Chirlas E, Massies J, Guyaux J L, et al. An eficient way to improve compositional abruptness at the GaAs on GalnAs interface. Appl. Phys. Lett, 1999 ,74: 3972-3974
- [21] Bugge F, Beister G, Erbert G, et al. Efect of growth interruption on performance of AlGaAs/InGaAs/GaAs quant  $\mu\text{m}$  well lasers, J. Cryst. Growth, 1994,145: 907-910
- [22] Bugge F, Erbert G, et al. 12 W continuous wave diodes lasers at 1120 nm with InGaAs quantum wells. App1. Phys. Lett., 2001,79: 1965-1967
- [23] Sato M, Zeimer U, et al. Evalution of strained InGaAs/GaAs quant  $\mu\text{m}$  wells by atomic force microscopy, App1. Phys. Lett, 1997, 70: 1134-1136
- [24] Schlenker D, Pan Z, Miyamoto T, et al. Efect of surface quality on overgrowth of highly strained GaInAs/GaAs quant  $\mu\text{m}$  wells and improvement by a strained bufer layer. Jpn. J. Appl. Phys., 1999,38: 5023-5027
- [25] Schlenker D, Miyamoto T, Chen Z B, et al. Critical layer thickness of 1.2  $\mu\text{m}$  highly stained GaInAs/GaAs quant  $\mu\text{m}$  wells, J. Cryst. Growth, 2000,221:503-508
- [26] Nishiyama N, Arai M, Shinada S, et al. 1.15  $\mu\text{m}$  lasing operation ofhighly strained GaInAs/GaAs on GaAs(311)B substrate with high characteristic temperature (To=210 K), Jpn. J. App1.Phys., 2000,39:L1046-1047,
- [27] G. Zhang and A. Ovtchinnikov. Strain-compensated hGaAs-GaAsP-GaInAsP-GaInP quantum well lasers( $\sim$ 0.98  $\mu\text{m}$ ) grown by gas-source molecular beam epitaxy. App1. Phys. Lett, 1993, 62(14): 1644-1646
- [28] N. Ohnoki, G. O. kazaki, F. Koyama, et al. Record high characteristic temerpature (T-o=122 K) of 1.55  $\mu\text{m}$  strain-compensated AlGaInAs/AlGaInAs MQW lasers with AlAs/AlInAs multi-quantum barrier. Elec, Lett, 1999, 35 (1): 51.
- [29] R. Henderson, F Walters, CL Reynolds, et al. Structural and optical characterization of

## 参考文献

---

- strained and strain-compensated InGaAsP/InP quantum well laser structures. *J. of Crystal Growth*, 1998, 194 (1) : 8.
- [30] Carsten Rohr, Paul Abbott, Ian Ballard, et al. InP-based lattice-matched InGaAsP and strain-compensated InGaAs/InGaAs quantum well cells for thermophotovoltaic applications *Appl. Phys.* 2006,100, 1-6
- [31] 潘教青, 黄柏标, 张晓阳, 等. 大应变 $In_{0.3}Ga_{0.7}As/GaAs$ 量子阱激光器的生长和研究. *量子电子学报*, 2003,20(3):707-710
- [32] Kuznetsov M, Hakimi F, Sprague R, et al. Design and Characteristics of High-Power (0.5-W CW) Diode-Pumped Vertical-External-Cavity Surface-Emitting Semiconductor Lasers with Circular TEM Beams. *IEEE J. of Selected Topics in Quantum Electron.*,1999,5(3):561-573
- [33] Lopata J., Vakhshoori, D., Hobson,W.S.; Han H., Strain compensated InGaAs/GaAsP/InGaP 980nm lasers with 90% fiber-coupling efficiency, *Lasers and Electro-Optics Society Annual Meeting*, 1996. LEOS 96., IEEE 1996,1(18-19):346 - 347
- [34] F. Bugge, U. Zeimer, S. Gramlich, et al., Effect of growth conditions and strain compensation on indium incorporation for diode lasers emitting above 1050nm. *Journal of Crystal Growth*, 2000,221: 496-502
- [35] Nelson Tansu, Luke J. Mawst. High-Performance Strain-Compensated InGaAs/GaAsP/GaAs ( $\lambda = 1.17 \mu m$ ) Quantum-Well Diode Lasers. *IEEE Photo. Techn. Lett.*, 2001,13(3)
- [36] Masakazu Arai, Kyoichi Kinoshita, Shinichi Yoda, Highly strained InGaAs quantum well with GaAs strain compensation layer on InGaAs ternary substrate for  $1.3\mu m$  laser, 2007 International Conference on Indium Phosphide and Related Materials, May 2007 Matsue, Japan, 2007 IEEE. 241-244
- [37] Kuznetsov M, Hakimi F, Sprague R et al. High power (>0.5-W CW) diode-pumped vertical-external-cavity surface-emitting semiconductor lasers with circular  $TEM_{00}$  beams . *IEEE Photon. Technol. Lett.*, 1997, 9(8):1063-1065
- [38] Lutgen S, Albrecht T, Brick P et al. 8-W high-efficiency continuous-wave semiconductor disk laser at 1000 nm. *Appl. Phys. Lett.*,2003,82(21):3620-3622
- [39] Hastie J E, Calvez S, Dowson M D High power CW red VECSEL with linearly polarized  $TEM_{00}$  output beam .*Optics Express*,2005(1),13:77-81
- [40] Hoogland S, Garnache A, Sagnes I et al. Picosecond pulse generation with 1.5 pm passively modelocked surface-emitting semiconductor laser. *Electron. Lett.*,2003,39(1):846-847
- [41] Holm M A, Burns D, Cusumano P, et al. High-power diode-pumped AlGaAs surface-emitting laser . *Appl. Opt.*,1999,38(27):5781-5784
- [42] Kuznetsov M, Hakimi F, Sprague R et al. Design and characteristics of high-power (0.5-W CW) diode-pumped vertical-external-cavity surface-emitting semiconductor lasers with circular TEM beams. *IEEE J. of Selected Topics in Quantum Electron*,1999,5(3):561-573

- [43] Linder N, Karnutsch C, Luft J et al. High power 660nm optically pumped semiconductor thin disk laser [C].IEEE/LEOS Summer Topi., Ingeniería: IEEE, 2002, MF2:5-6
- [44] Park S H, Kim J, Jeon H et al. Room-temperature GaN vertical-cavity surface-emitting laser operation in an extended cavity scheme. Appl. Phys. Lett.,2003, 83(11):2121-2123
- [45] Symonds C, Sagnes I, Garnache A et al. Continuous-wave operation of monolithically grown  $1.5\mu\text{m}$  optically pumped vertical-external-cavity surface-emitting lasers. Appl. Opt.,2003,42(33): 6678-6681
- [46] Hopkins J M, Smith S A, Jeon C W et al. 0.6W CW GaInNAs vertical external-cavity surface emitting laser operating at  $1.32\mu\text{m}$ . Electron. Lett.,2004,40(1):30-31
- [47] Cerutti L, Garnache A, Genty F et al. Low threshold, room temperature laser diode pumped Sb-based VECSEL emitting around  $2.1\mu\text{m}$ . Electron. Lett.,2003,39(3):290-292
- [48] Hastie J E, Hopkins J M, Calvez S et al. 0.5-W single transverse-mode operation of an 850-nm diode-pumped surface-emitting semiconductor laser .IEEE Photon. Technol. Lett.,2003,15(7): 894-896
- [49] Hoogland S, Dhanjal S, Tropper A C, et al. Passively mode-locked diode-pumped surface-emitting semiconductor laser. IEEE Photon. Technol. Lett.,2000,12(9):1135-1137
- [50] Garnache A, Hoogland S, Tropper A C et al. Sub-500-fs soliton-like pulse in a passively mode-locked broadband surface-emitting laser with 100 mW average power . Appl. Phys. Lett.,2002,80(21): 3892-3894
- [51] Alford W J, Raymond T D, Allerman A A, High power and good beam quality at 980 nm from a vertical external-cavity surface-emitting laser . J. Opt. Soc. Am. B-Opt. Phys.,2002,19(4):663-666
- [52] Chilla J, Butterworth S, Zeitschel A et al. High power optically pumped semiconductor lasers. Nanobiophotonics and Biomedical Applications, Proc. SPIE,2004,5332(1):143-150
- [53] Häring R, Paschotta R, Gini E et al. Picosecond surface-emitting semiconductor laser with  $>200\text{ mW}$  average power. Electron. Lett.,2001,37(12):766-767
- [54] Häring R, Paschotta R, Aschwanden A et al., High-power passively mode-locked semiconductor lasers. IEEE J. Quantum Electron.,2002, 38(9):1268-1275

## 第二章:

- [1] 克劳斯·普洛格. 分子束外延异质结构. 张立纲译. 上海: 复旦大学出版社, 1988
- [2] Cho A Y and Arthur J R. Molecular beam epitaxy. Progressin Solid-state Chemistry, 1975, 10(3):157~191
- [3] 王占国, 陈涌海, 叶小玲. 纳米半导体技术. 北京: 化学工业出版社, 2006
- [4] 王占国. 低维半导体结构材料及其器件应用研究进展. 世界科技研究与发展, 2000, 22 (1) :1~8
- [5] RHEED system RH12 Version M12RH3a, [Manual]. Paris: Riber, 2002
- [6] Addendum to the HAL Quadrupole Gas Analyser Manual, [Manual]. Paris: Riber, 2003

## 参考文献

---

- [7] Technology for Vacuum Systems Instruction for use, Diaphragm pumps MD 4V, [Manual]. Paris: Riber, 2003
- [8] Varian Products Documentation Management System Instruction manuals Version 1.0, Turbo molecular pump Turbo-V70LP, [Manual]. Paris: Riber, 2003
- [9] Instruction manual 608 311 92U, Titanium sublimation pumping system Model, [Manual]. Paris: Riber, 2003
- [10] Varian Vacuum Technologies Instruction Manual, Ion pump (400 l/s for N2) , [Manual]. Paris: Riber, 2003
- [11] Cryo-Torr100, 7, 8 and 8F High-Vacuum Pumps Installation, Operation, and Service Instructions, CT8 CRYOPUMP(CF200) Model Helix CTI CT8(2500 l/s), [Manual]. Paris: Riber, 2003
- [12] J. R. Arthur, Spherical lens as a launcher of electromagnetic missiles, *J. Appl. Phys.* 1968,39, 4036~4038
- [13] J. R. Arthur, G. A. Somorjai, Structure and Chemistry of Solid Surfaces, New York:Wiley, 1969
- [14] C. T. Foxon and B. A. Joyce, Interaction kinetics of As. 2. and. Ga on 100 GaAs surfaces, *Surf. Sci.* ,1977,64, 293~304
- [15] J. H. Neave, P. Blid and B.A. Joyce, A correlation between electron traps and growth processes in *n*-GaAs prepared by molecular beam epitaxy, *Appl. Phys. Lett.* 1980,36(4), 311~312
- [16] C. T. Foxon and B. A. Joce, Interaction kinetics of As<sub>4</sub> and Ga on {100} GaAs surfaces using a modulated molecular beam technique, *Surf. Sci.* 1975,50, 434~450
- [17] G. J. Davies, D. A. Andrews, R. Heckingbottom, Electrochemical sulfur doping of GaAs grown by molecular beam epitaxy , *J. Appl. Phys.* ,1981, 52, 7214~7216
- [18] H. Kunzel, J. Knecht, H. Jung, K. Wunstel, K. Ploog, Reduced carbon acceptor incorporation in GaAs grown by molecular beam epitaxy, *Appl. Phys. A*,1982,28(50):167~173
- [19] Instruction Manual N°608 357 32 S, Double filament hot lip effusion cell, Model ABN 60DF (CF100), [Manual]. Paris: Riber, 2003
- [20] A. Zehe1, A Ramírez, B. W. Müller, Thermal response of a Knudsen-type effusion source to sudden heating-power changes, *Superficies Vacío*,2001,13(21), 72~76
- [21] Models 2408 and 2404 PID controllers Installation and operation handbook, EUTHERM (PID) 2408, [Manual]. Paris: Riber, 2003
- [22] 黄惠忠. 纳米材料分析. 化学工业出版社, 2003
- [23] Y. Wang,Y.N. Sheng,Weikun Ge,et al. Morphology of MBE grown InAs films studied by

- atomic force microscope. *Journal of Crystal Growth*, 1997, 175/176:1289-1293
- [24] Gan Fenga, Kunishige Oeb, Masahiro Yoshimoto, Temperature dependence of Bi behavior in MBE growth of InGaAs/InP, *Journal of Crystal Growth*, 2007, 301-302: 121-124
- [25] 孟昌庆. 透射电子显微学. 哈尔滨: 哈尔滨工业大学出版社, 1998
- [26] 马如璋, 徐祖雄, 等. 材料物理现代研究方法. 北京: 冶金工业出版社, 1997
- [27] Wang X C, Xu S J, Chua S J, et al. X-ray diffraction and optical characterization of interdiffusion in self-assembled InAs/GaAs quantum-dot superlattices. *Appl.Phys.Lett*, 2000, 76(6):691~693
- [28] 沈学础. 半导体光学性质. 北京: 科学出版社, 1992

### 第三章:

- [1] Y. Lam, J. P. Loher, and J. Singh. Comparison of steady state and transient characteristics of lattice matched and strained InGaAs-AlGaAs (on GaAs) and InGaAs-AlInAs (on InP) quantum well lasers. *IEEE J. Quantum Electron.* 1992, 28(5):1248-1260.
- [2] Suemune, I., Coldren, L. A., Yamanishi, M., et al. Extremely wide modulation bandwidth in a low threshold current strained quantum well laser. *Appl. Phys. Lett.*, 1988, 53, (15):1378-1380
- [3] Chan M C Y, Surya C and Wai P K A. The effects of interdiffusion on the subbands in  $\text{Ga}_x\text{In}_{1-x}\text{N}_{0.04}\text{As}_{0.96}/\text{GaAs}$  quantum well for 1.3 and 1.55  $\mu\text{m}$  operation wavelengths. *J. Appl. Phys.* 2001, 90(1):197-201.
- [4] Muraki K, Fukatsu S, Shiraki Y, et al. Surface segregation of In atoms during molecular beam epitaxy and its influence on the energy levels in InGaAs/GaAs quantum wells. *Appl. Phys. Lett.* 1992, 61(5):557-559.
- [5] B. M. Arora, K. S. Chandrasekaran, M. R. Gokhale, et al. Study of defects and strain relaxation in  $\text{GaAs}/\text{In}_x\text{Ga}_{1-x}\text{As}/\text{GaAs}$  heterostructures using photoluminescence, positron annihilation, and x-ray diffraction. *J. Appl. Phys.*, 2000(87):8444-8450
- [6] D. J. Dunstan, Review: Strain and strain relaxation in semiconductors, *Journal of Materials Science: Materials in Electronics*, 1997, 8:337-375
- [7] M. T. Emeny, L. K. Howard, K. P. Homewood, et al. A photoluminescence study of indium desorption from strained  $\text{Ga}_{1-x}\text{In}_x\text{As}/\text{GaAs}$ . *J. Cryst. Growth* 1991, 111: 413.
- [8] F. A. Ponce, L. Gonzalez, A. Mazuelas, et al. *Inst. Phys. Conf. Ser.* 1993, 134 :313.
- [9] M. Missous and S. Ohagan. Nonstoichiometry and dopants related phenomena in low temperature GaAs grown by molecular beam epitaxy. *J. Appl. Phys.* 1994, 75 :3396
- [10] N. G. Anderson, W. D. Laidig R. M. Kolbas, et al. Optical characterization of pseudomorphic  $\text{In}_x\text{Ga}_{1-x}\text{As}-\text{GaAs}$  single-quantum-well heterostructures. *J. Appl. Phys.*, 1986, 60(7):2361~2367

## 参考文献

---

- [11] G. Gonzalez de la Cruz, The influence of surface segregation on the optical properties of quantum wells. *J. Appl. Phys.*, 2004, 96(7):3752~3755
- [12] J. W. Matthews and A. E. Blakeslee, Defects in epitaxial multilayers I .Misfit Dislocations. *J. Cryst. Growth.* 1974, 27:118.
- [13] Variation of the critical layer thickness with In content in strained InGaAs/GaAs quantum wells grown by molecular beam epitaxy
- [14] B. M. Arora, K. S. Chandrasekaran, M. R.Gokhale, et al. Study of defects and strain relaxation in GaAs/In<sub>x</sub>Ga<sub>1-x</sub>As/GaAs heterostructures using photoluminescence, positron annihilation, and x-ray diffraction. *J. Appl. Phys.*, 2000(87):8444~8450
- [15] Y. P. Varshni. Temperature dependence of the energy gap in semiconductors. *Physica* 1967, 34(1):149-156.
- [16] K.Chattopadhyay, et al. Electoreflectance study of effects of indium segregation in molecular-beam-epitaxy-grown InGaAs/GaAs. *J.Appl.Phys*, 1997,81(8):3601~3606
- [17] S. Jiang, et.al.Photomodulated reflectance spectra of In<sub>0.2</sub>Ga<sub>0.8</sub>As/GaAs single quantum. *Appl.Phys.Lett*,1995, 65 (15) :1948~1950
- [18] W.Z.shen, et.al.Observation of excitonic polariton and broadening of room-temperature exciton in strained InGaAs-GaAs quantum wells. *J.Appl.Phys*, 1995,78(2):1178~1182
- [19] S.Martini, et.al.Influence of the temperature and excitation power on the optical properties of InGaAs/GaAs quantum wells grown on vicinal GaAs(001) surfaces. *J.Appl.Phys*, 2001,90(5):2280~2289
- [20] G.Ji et.al. Optical investigation of highly strained InGaAs-GaAs multiple quantum wells.. *J.Appl.Phys*, 1987,62(8):3366~3373
- [21] K. A. Jones, M. W. Cole, P. Cooke, et al, Accurately determining the composition and thickness of layers in a GaAs-InGaAs superlattice. *J. Appl. Phys.*, 1994,76(3):1609~1614
- [22] 王圩, 半导体微结构物理效应及其应用讲座第 1 讲: 布拉格衍射效应在半导体光电子器件中的应用与发展, 物理, 2004: 597~604
- [23] 王向武, 程祺祥, 短周期 AlGaAs\_GaAs 超晶格的 MOCVD 生长及 X 射线衍射研究, 固体电子学研究与进展, 2000, 20 (2) : 212~215
- [24] 孟昌庆.透射电子显微学.哈尔滨: 哈尔滨工业大学出版社, 1998
- [25] 马如璋, 徐祖雄, 等.材料物理现代研究方法.北京: 冶金工业出版社, 1997
- [26] G. Zhang, A. Ovtchinnikov and M.Pessa, Role of growth temperature in GSMBE growth of strained-layer InGaAs/GaAs quantum well lasers. *J. Cryst. Growth.* 1993,127:209~212
- [27] Toshiro Hayakawa, Masaharu Nagai, Hideyoshi Horie, et al, Effects of growth temperature and substrate misorientation in InGaAs/GaAs strained quantum wells grown by MBE, *J. Cryst. Growth.* 1993,127:532~535
- [28] J.H.Neave, P.J.Dobson, B.A.Joyce and J. Zhang, Reflection high-energy electron diffraction oscillations from vicinal surfaces—a new approach to surface diffusion measurements. *Appl. Phys. Lett*, 1985, 47:100-102

- [29] 于磊, 曾一平, 潘量, 衬底温度和生长速率对 MBE 自组织生长  $In_xGa_{1-x}As/GaAs/QD$  的影响, 半导体学报, 2000, 21(7):652-856
- [30] Bugge F, Beister G, Erbert G, et al. Effect of growth interruption on performance of AlGaAs/InGaAs/GaAs quantum  $\mu m$  well lasers, J. Cryst. Growth, 1994, 145: 907-910
- [31] Bugge F, Erbert G, et al. 12 W continuous wave diodes lasers at 1120 nm with InGaAs quantum  $\mu m$  wells, Appl. Phys. Lett., 2001, 79: 1965-1967
- [32] Sato M, Zeimer U, et al. Evaluation of strained InGaAs/GaAs quantum  $\mu m$  wells by atomic force microscopy, Appl. Phys. Lett., 1997, 70: 1134-1136
- [33] S.F. Yoon, H. M. Li, K. Radhakrishnan, et al. The effect of growth interruption on the photoluminescence linewidth of GaAs/InGaAs quantum wells grown by molecular beam epitaxy. J. Crystal Growth, 1993, 131:1-4
- [34] S.F. Yoon, H. M. Li, K. Radhakrishnan, et al. Photoluminescence from strained GaAs/In<sub>0.12</sub>Ga<sub>0.88</sub>As multiple quantum-wells grown with and without growth interruption by molecular beam epitaxy. Superlatt. Microstruct. 1993, 13:469
- [35] B. A. Miller and P. B. Kirby. Molecular beam epitaxy growth interrupt and temperature studies on doped and undoped single quantum well pseudomorphic structures. Appl. Phys. Lett. 1992, 61:432
- [36] R. D. Dupuis, J. G. Neff and C. J. Pinzone. Very smooth AlGaAs-GaAs quantum wells grown by metalorganic chemical vapor deposition. J. Crystal. Growth, 1992, 124:558
- [37] 徐章程, 贾国治, 孙亮, 等. 亚单层 InGaAs 量子点\_量子阱异质结构的时间分辨光致发光谱. 物理学报, 2005, 54 (11) :5367-5371
- [38] S. S. Mikhrin, A. E. Zhukov, A. R. Kovsh, et al. 0.94  $\mu m$  diode lasers based on Stranski-Krastanow and sub-monolayer quantum dots. Semicond. Sci. Technol. 2000, 15: 1061-1064

#### 第四章:

- [1] Chand N, Becker E E, Van J P, et al, Excellent uniformity and very low (50 A/cm<sup>2</sup>) threshold current density strained InGaAs quantum well diode lasers on GaAs substrate . Appl. Phys. Lett, 1991, 58(16):1704-1706
- [2] Yamada N, Roos G, and Harris J S. Threshold reduction in strained InGaAs single quantum well lasers by rapid thermal annealing. Appl. Phys. Lett, 1991, 59(9):1040-1042
- [3] Miao Zhenhua, Xu Yingqiang, Zhang Shiyong, et al, Effect of Rapid Thermal Annealing on Highly Strained InGaAs/GaAs Quantum Well. Chinese Journal of Semiconductors, 2005, 26(9):1749-1752
- [4] Offsey S D, Schaff W J, Lester L F. Strained-layer InGaAs/GaAs/AlGaAs lasers grown by molecular beam epitaxy for high-speed modulation. IEEE J. Quantum Electron. 1991,

QE-27, 1455-1462

- [5] LI L H, PAN Z, ZHANG W, et al, Effects of rapid thermal annealing on the optical properties of GaNAs/GaAs single quantum well structure grown by molecular beam epitaxy. *J. Appl. Phys.*, 2000, 87(1):245-248
- [6] Kothiyal G P and Bhattacharya P. Optical properties and Stokes shifts in lamp-annealed InGaAs-GaAs strained layer superlattice. *J. Appl. Phys.*, 1988, 63(8):2760-2764
- [7] Peercy P S, Donson B W, Tsao J Y, et al, Stability of strained quantum-well field-effect transistor structures. *IEEE J. Quantum Electron. Device Letters*, 1988, 9(12):621~623
- [8] Sadwick L P, Streit D C, Jones W L, et al, Device and material properties of pseudomorphic HEMT structures subjected to rapid thermal annealing. *IEEE J. Electron. Devices* 1992, ED-39, 50
- [9] Streit D C, Jones W L, Sandwick L P, et al, Effect of rapid thermal annealing on planar-doped pseudomorphic InGaAs high electron mobility transistor structures. *Appl. Phys. Lett.*, 1991, 58(20):2273-2275
- [10] Xing Qi-Jiang, Zhang Bei, Wang Shumin, et al, Enhancement of crystalline quality of strained InAa/InP quantum well structures by rapid thermal annealing. *Semiconductor Optoelectronics*, 1996, 17(4):357~361
- [11] Khreis O M. Interdiffusion and the strain effect in pseudomorphic quantum well heterostructures. *Solid State Communications*, 2004, 132:767-771
- [12] Lu Liwu, Zhang Yanhua, Xu Zuntu, et al, Effect of rapid thermal annealing on electron emission and DX centers in strained InGaAs/GaAs single quantum well laser diodes. *Acta Physica Sinica*, 2002, 51(2):367~371
- [13] I.V. Bradley, W.P. Gillin, K.P. Homewood, et al. The effects of ion implantation on the interdiffusion coefficients in  $In_xGa_{1-x}As/GaAs$  quantum well structures. *J. Appl. Phys.* 1993, 73:1686.
- [14] S. Seshadri, L.J. Guido, P. Mitev. Impurity-free layer disordering in p-i-n and n-i-p AlGaAs-GaAs multiple quantum well device structures: The Fermi level effect revisited. *Appl. Phys. Lett.* 1995, 67: 497
- [15] L.J. Guido, N. Holonyak, K.C. Hsieh, et al. Effects of dielectric encapsulation and As overpressure on Al-Ga interdiffusion in  $Al_xGa_{1-x}As/GaAs$  quantum-well heterostructures. *J. Appl. Phys.* 1987, 61:1372.
- [16] S.-W. Ryu, I. Kim, B.-D. Choe, et al. The effect of strain on the interdiffusion in InGaAs/GaAs quantum wells. *Appl. Phys. Lett.* 1995, 67:1417
- [17] W.P. Gillin. Effect of strain on the interdiffusion of InGaAs/GaAs heterostructures. *J. Appl.*

Phys. 1999,85 : 790

- [18] W.P. Gillin, D.J. Dunstan. Strain and interdiffusion in semiconductor heterostructures. *Phys. Rev. B.* 1994,50: 7495
- [19] W.P. Gillin, D.J. Dunstan, K.P. Homewood, et al. Interdiffusion in InGaAs/GaAs quantum well structures as a function of depth. *J. Appl. Phys.* 1993,73:3782
- [20] Buyanova I A, Pozina G, Hai P N, et al, Mechanism for rapid thermal annealing improvements in undoped  $\text{GaN}_x\text{As}_{1-x}$  /GaAs structures grown by molecular beam epitaxy. *Appl. Phys. Lett.*,2000,77(15):2325~2327
- [21] Gourley P L, Fritz I J, Dawson L R. Controversy of critical layer thickness for InGaAs/GaAs strained-layer epitaxy. *Appl. Phys. Lett.*, 1988,52:377~379
- [22] Ryu S W, Kim I, Choe B D, et al, The effect of strain on the interdiffusion in InGaAs-GaAs quantum wells. *Appl. Phys. Lett.*, 1995,67(10):1417-1419
- [23] 苗振华, 徐应强, 张石勇, 等. 快速热退火对高应变 InGaAs/GaAs 量子阱的影响. 半导体学报, 2005, 26(9):1749~1752.
- [24] 陆卫, 穆耀明, 万明, 等. 一维薛定谔方程的传递矩阵法求解. 红外与毫米波学报, 1998, 17(3):231~235
- [25] Ajoy k. Ghatak, K. Thyagarajan, and M. R. Shenoy, A novel numerical technique for solving the one-dimensional Schroedinger equation using matrix approach-application to quantum well structures. *IEEE J. Quantum Electron*, 1988,24(8):1524~1531
- [26] G. Gonzalez de la Cruz, The influence of surface segregation on the optical properties of quantum wells. *J. Appl. Phys.*, 2004,96(7):3752~3755
- [27] G. Gonzalez de la Cruz, A. Calderon Arenas and H. Herrera, Internal electric-field and segregation effects on luminescence properties of quantum wells. *J. Appl. Phys.*, 2005,98(2):023501-1~023501-4

## 第五章:

- [1] F. Bugge, U. Zeimer, M. Sato, et al. MOVPE growth of highly strained InGaAs/GaAs quantum wells. *J. Crys. Grow.*, 1998,183(4):511-518
- [2] Schlenker D, Miyamoto T, Chen Z, et al. Growth of highly strained GaInAs/ GaAs quantum wells for  $1.2 \mu \text{m}$  wavelength lasers. *J. Cryst. Growth*, 2000 209:27-36
- [3] Chirlias E, Massies J, Guyaux J L, et al. An efficient way to improve compositional abruptness at the GaAs on GaInAs interface. *Appl. Phys. Lett.*, 1999,74: 3972-3974

- [4] G. Zhang and A. Ovtchinnikov. Strain-compensated InGaAs-GaAsP-GaInAsP-GaInP quantum well lasers( $\sim 0.98 \mu\text{m}$ ) grown by gas-source molecular beam epitaxy. *Appl. Phys. Lett.*, 1993, 62(14): 1644-1646
- [5] N. Ohnoki, G. O. Kazaki, F. Koyama, et al. Record high characteristic temperature ( $T_c=122 \text{ K}$ ) of  $1.55 \mu\text{m}$  strain-compensated AlGaInAs/AlGaInAs MQW lasers with AlAs/AlInAs multiquantum barrier. *Elec. Lett.*, 1999, 35 (1): 51.
- [6] Candace Lynch. In situ studies of strain relaxation during III-V semiconductor heteroepitaxy: [Dissertation]. Brown University, 2002
- [7] D.C. Houston, M. Davies and M. Dion. Design criteria for structurally stable, highly strained multiple quantum well devices. *Appl. Phys. Lett.*, 1994, 64(4): 505-507
- [8] Kuznetsov M, Hakimi F, Sprague R, et al. Design and Characteristics of High-Power (0.5-W CW) Diode-Pumped Vertical-External-Cavity Surface-Emitting Semiconductor Lasers with Circular TEM Beams. *IEEE J. of Selected Topics in Quantum Electron.*, 1999, 5(3):561-573
- [9] N. G. Anderson, W. D. Laidig R. M. Kolbas, et al. Optical characterization of pseudomorphic  $\text{In}_{x}\text{Ga}_{1-x}\text{As}-\text{GaAs}$  single-quantum-well heterostructures. *J. Appl. Phys.*, 1986, 60(7):2361~2367
- [10] B. M. Arora, K. S. Chandrasekaran, M. R. Gokhale, et al. Study of defects and strain relaxation in  $\text{GaAs}/\text{In}_x\text{Ga}_{1-x}\text{As}/\text{GaAs}$  heterostructures using photoluminescence, positron annihilation, and x-ray diffraction. *J. Appl. Phys.*, 2000(87):8444~8450
- [11] 许振嘉. 半导体的检测与分析. 北京: 中国科学出版社, 2007
- [12] Won-Jin Choi, P. Daniel Dapkus, and Jack J. Jewell.  $1.2-\mu\text{m}$  GaAsP-InGaAs strain compensated single-quantum-well diode laser on GaAs using metal-organic chemical vapor deposition. *IEEE Photonics Technology Letters*, 1999, 11(12):1572-1574

## 第六章:

- [1] Chemla D S, Miller D. A. B. Room-temperature excitonic nonlinear-optical effects in semiconductor quantum-well structures. *J Opt.Soc.Am.B*, 1985 , 2(7): 1155~1173
- [2] Tsang W T, Wang S,  $\text{GaAs}-\text{Ga}_{1-x}\text{Al}_x\text{As}$  Double-heterostructure Injection Lasers with Distributed Bragg Reflectors. *Appl. Phys. Lett.* , 1976, 28(10): 596~598
- [3] Sun D, Fan W, Kner P, et al. Sub-mA Threshold  $1.5-\mu\text{m}$  VCSELs with Epitaxial and Dielectric DBR Mirrors. *IEEE Photonics Technology Letters*, 2003, 15(12): 1677~1679
- [4] Keeler G A, Serkland D K, Geib K M, et al. Single Transverse Mode Operation of

- Electrically Pumped Vertical-External-Cavity Surface-Emitting Lasers with Micromirrors.  
IEEE Photonics Technology Letters, 2005, 17(3):522~524
- [5] Kuznetsov M, Hakimi F, Sprague R et al. Design and Characteristics of High-Power ( $>0.5\text{-W CW}$ ) Diode-Pumped Vertical-External-Cavity Surface-Emitting Semiconductor Lasers with Circular  $\text{TEM}_{00}$  Beams. IEEE Journal of Selected Topic in Quantum Electronics, 1999, 5(3):561~573
- [6] 伊贺健一, 小山二三夫. 面发射激光器基础与应用[M]. 北京, 科学出版社, 2002:37.
- [7] 晏长岭, 赵英杰, 钟景昌. 半导体/超晶格分布布拉格反射镜(DBR)的分子束外延生长. 半导体学报, 2001, 22: 446
- [8] Egawa T, Jimbo T, Umeno M, et al. Structure of AlAs/GaAs Distributed Bragg Reflector Grown on Si Substrate by Metalorganic Chemical Vapor Deposition. Appl. Phys. Lett., 1995, 77(8): 3836~3838
- [9] Steckl A J, Chen P, Cao X, et al. GaAs Quantum Well Distributed Bragg Reflection Laser with AlGaAs/GaAs Superlattice Gratings Fabricated by Focused Ion Beam Mixing [J]. Appl. Phys. Lett., 1995, 67(2):179~181
- [10] Vittorio M D, Vaccaro P O, Giorgi M D, et al. Local Degradation of Selectively Oxidized AlGaAs/AlAs Distributed Bragg Reflectors in Lateral-injection Vertical-cavity Surface-emitting lasers . Appl. Phys. Lett, 2000, 77(24):3905~3907
- [11] 李林, 钟景昌, 苏伟, 等. 分布布喇格反射镜的反射特性. 发光学报, 2004, 25:501
- [12] 林永昌, 卢维强. 光学薄膜原理[M]. 北京: 国防工业出版社, 1990 :35~40 ,259
- [13] Weber J P, Malloy K, Wang S. Effects of Layer Thickness Variations on Vertical-cavity Surface-emitting DBR Semiconductor Lasers . IEEE Photon. Technol. Lett, 1990, 2:162
- [14] Rubin Liu, Yongchun Shu, Guanjie Zhang, et.al. Study of nonlinear absorption in GaAs/AlGaAs multiple quantum wells using the reflection Z-scan. Optical and Quantum Electronics, 2008, in press and online first
- [15] D. A. B. Miller, D. S. Chemla, D. J. Eilenberger, et. al. Large room-temperature optical nonlinearity in GaAs/Ga<sub>1-x</sub>Al<sub>x</sub>As multiple quantum well structures. Appl. Phys. Lett, 1982, 41(8),679-681
- [16] A. Miller, P. Riblet, M. Mazilu, et al. Exciton saturation in GaAs multiple quantum wells at room temperature, J. Appl. Phys, 1999, 86(7),3734-3744
- [17] J. S. Weiner, D. B. Pearson, D. A. B. Miller, et al. Nonlinear spectroscopy of InGaAs/InAlAs multiple quantum well structures, Appl. Phys. Lett, 1986, 49(9),531-533
- [18] M. J. Weber, D. Milam, and W. L. Smith. Nonlinear refractive index of glasses and crystals.

## 参考文献

---

Opt. Eng, 1978,17(5),463

- [19] S. R. Friberg and P. W. Smith. Nonlinear optical glasses for ultrafast optical switches. IEEE J. Quantum Electron, 1987,QE-23,2089-2094
- [20] R. Adsir, L. L. Chase, and S. A. Payne. Nonlinear refractive-index measurements of glasses using three-wave frequency mixing. J. Opt. Soc. Am. B, 1987,4,875-881
- [21] A. Owoug. Ellipse rotation studies in laser host materials. IEEE J. Quantum Electron, 1973,QE-9,1064-1069
- [22] W. E. Williams, M. J. Soileau, and E. W. Van Stryland. Optical switching and  $n_2$  measurements in  $CS_2$ . Opt. Commun, 1984,50(4),256-260
- [23] J. Ma, S. M. Wang, and D. Z. Shen. The study of third order nonlinearities in ZnCdSe-ZnSe/GaAs MQWs using Z-scan. Solid. State. Commun, 1996,97(11), 961-963
- [24] D. V. Petrov. A. S. L. Gomes, Cid. B de Araujo. Reflection Z-scan technique for measurements of optical properties of surfaces. Appl. Phys. Lett, 1994,65(29),1067-1069
- [25] D. V. Petrov. Reflection Z-scan technique for the study of nonlinear refraction and absorption of a single interface and thin film. J. Opt. Soc. Am. B, 1996,13(7),1491-1498
- [26] D. V. Petrov, A. S. L. Gomes, and Cid B. de Araujo. Reflection of a Gaussian beam from a saturable absorber. Optics Communications, 1996,123,637-641
- [27] P. N. Butcher and D. Cotter: the Elements of Nonlinear Optics, Cambridge Univ. Press,1990
- [28] Radhakrishnan Nagarajan, Takeshi Kamiya, and Atsushi Kurobe. Band filling in GaAs-AlGaAs multiquantum well lasers and its effect on the threshold current. IEEE J. Quantum Electron, 1989,25( 6),1161~1170
- [29] M. D. Sturge: Optical absorption of Gallium Arsenide between 0.6 and 2.75 eV. Phys. Rev. 1962,127(3),768~773

## 致 谢

本论文是在导师王占国院士、副导师舒永春和姚江宏教授的热情关怀和悉心指导下完成的。导师渊博的学识、活跃的物理思维、严谨的治学态度和高尚的品德使我受益匪浅。论文的完成凝聚着导师的心血，谨向他们表示我衷心的感谢和最诚挚的敬意。

十分感谢 MBE 组林耀望、皮彪、邢晓东、孙甲明等老师对我毫无保留的指导、帮助和支持。从实验的设计、结果的分析到论文的撰写无不凝聚他们的辛勤劳动，我所取得的一切成果都与他们的帮助和支持密不可分的。

感谢中国科学院半导体研究所徐波、陈涌海、王玉田、张秀兰、韩勤、叶小玲和南开大学物理学院许京军、张存洲、徐章程、徐晓轩等老师对我的帮助和指导。感谢国家纳米技术产业化基地牟诗诚、吴英、魏玉顺、王雅丽等研究工作人员以及应用物理学院非线性光学实验室刘智波、光谱实验室许家林、王斌、范伟、李俊梅等同学在样品的分析检测方面给予的支持和帮助。他们的支持和帮助使得作者的实验和研究工作得以顺利进行。

感谢量子材料与器件实验室的张冠杰、舒强、贾国治、王影、陈琳、柏天国、李丹、张雁、叶志成、罗青青、陈晨、崔楠、曹雪等同学对我学习和生活方面的帮助。

感谢我的父亲、母亲，多年来他们对我的学习和生活给予无微不至的关怀，使我能顺利地完成学业。

在此向所有鼓励、支持和帮助过本论文工作的老师和同学表示衷心感谢！

刘如彬  
2008年4月 于南开大学

## 个人简历

### 作者简介:

刘如彬，男，1979年生，河北邯郸人。

1) 2003年毕业于河北大学物理学院，获得理学学士学位。

2) 2003-2005年，在南开大学物理学院攻读硕士学位，专业为凝聚态物理。

3) 2005-2008年，在南开大学泰达应用物理学院转攻博为博士，专业为凝聚态物理。

## 攻读博士期间发表论文情况

### 发表的论文:

1、**Rubin Liu, Yongchun Shu, Guanjie Zhang, Jiamin Sun, Xiaodong Xing, Biao Pi, Jianghong Yao, Zhanguo Wang and Jingjun Xu**, Study of nonlinear absorption in GaAs/AlGaAs multiple quantum wells using the reflection Z-scan, *Optical and Quantum Electronics (SCI & EI)*, 2008, in press and online first

2、刘如彬，舒永春，张冠杰，舒强，林耀望，姚江宏，王占国，具有超短脉冲特性的光泵浦垂直外腔面发射激光器的研究进展，*激光杂志*, Vol.27(2), 9-10(2006)

3、贾国治，姚江宏，张春玲，舒强，刘如彬，叶小玲，王占国，光致发光谱研究自组织 InAs 双模量子点态填充，*光谱学与光谱分析 (SCI & EI)*, Vol.27(11), 2178-2181(2007)

4、舒强，舒永春，张冠杰，刘如彬，姚江宏，皮彪，邢晓东，林耀望，王占国，许京军，调制掺杂 GaAs/AlGaAs 2DEG 材料持久光电导及子带电子特性研究，*物理学报(SCI)*, Vol.55(3), 368-372 (2006)

5、张冠杰，徐波，陈涌海，姚江宏，林耀望，舒永春，皮彪，邢晓东，刘如彬，舒强，王占国，许京军，不同淀积厚度 InAs 量子点的拉曼散射研究，*半导体学报(EI)*, Vol.27(6), 1012-1015(2006)

6、PI Biao, SUN Jia-ming, LIN Yao-wang, YAO Jiang-hong, XING Xiao-dong, CAI Ying, SHU Qiang, JIA Guo-zhi, LIU Ru-bin, LI Dan, WANG Zhan-guo, Unstable growth in InP homoepitaxy:Mound formation, *人工晶体学报(EI)* Vol.36(2), 263-266(2007)

7、张冠杰，舒永春，皮彪，姚江宏，林耀望，舒强，刘如彬，王占国，许京军，AlAs/GaAs 分布布拉格反射镜（DBR）的反射谱拟合与优化生长，*人工晶体学报(EI)*, Vol.34(6), 977-981 (2005)

## 个人简历及在读博士期间的科研成果

---

- 8、舒强, 舒永春, 刘如彬, 陈琳, 姚江宏, 许京军, 王占国, 半导体可饱和吸收镜实现超短脉冲激光器研究进展, 激光与红外, Vol.37(3), 197-199(2007)
- 9、贾国治 姚江宏 刘国梁 柏天国 刘如彬 邢晓东, 俄歇复合对应变量子阱激光器阈值电流的影响, 量子电子学报, Vol.24(1), 105-109 (2007)
- 10、张冠杰, 陈浦海, 姚江宏, 舒强, 刘如彬, 舒永春, 王占国, 许京军, InAlAs 量子点材料的 AFM 和拉曼散射研究, 激光与光电子学进展, Vol.43(4), 68-72 (2006)
- 11、张冠杰, 舒永春, 刘如彬, 舒强, 林耀望, 姚江宏, 王占国, 许京军, 光泵浦垂直外腔面发射激光器特性与研究进展, 激光技术 Vol.30(4), 351-354 (2006)